# Cilindar na temelju standarda CRDNG-100- -PPV-A-S6

Broj dijela: 185298

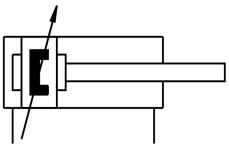

## Podatkovni list

| Svojstvo | Vrijednost |
|---|---|
| Hod | 10 mm...2000 mm |
| Promjer klipa | 100 mm |
| Navoj klipnjače | M20x1,5 |
| Prigušenje | pneumatsko prigušenje, obostrano podesivo |
| Položaj montaže | po želji |
| Odgovara normi | ISO 15552 |
| Kraj klipnjače | Vanjski navoj |
| Konstruktivna struktura | Klip<br>Piston rod<br>Vučna šipka<br>Cilindrična cijev |
| Detekcija položaja | za beskontaktnu sklopku |
| varijante | Brtve otporne na toplinu maks. 120 °C |
| Radni tlak | 0.06 MPa...1 MPa<br>0.6 bar...10 bar |
| Način rada | dvoradni |
| Operativni medij | Komprimirani zrak prema ISO 8573-1: 2010 [7: 4: 4] |
| Napomena o radnom / upravljačkom mediju | Moguć rad pod uljem (potrebno u daljnjem radu) |
| Klasa otpornosti na koroziju CRC | 4 - posebno jako opterećenje korozijom |
| LABS sukladnost | VDMA24364-B2-L |
| Kvaliteta hrane | pogledajte proširene informacije o materijalu |
| Temperatura okoline | 0 °C...120 °C |
| Duljina prigušenja | 30 mm |
| Teoretska sila pri 0,6 MPa (6 bara, 87 psi), obrnuto | 4418 N |
| Teoretska sila pri 0,6 MPa (6 bara, 87 psi), napredovanje | 4712 N |
| Pokretna masa s hodom od 0 mm | 1310 g |
| Doplata pomaknute mase po hodu od 10 mm | 39 g |
| Osnovna težina s hodom od 0 mm | 8330 g |
| Dodatna težina po hodu od 10 mm | 99 g |
| Vrsta montaže | neobavezno:<br>s unutarnjim navojem<br>s priborom |
| Pneumatski priključak | G1/2 |

| Svojstvo | Vrijednost |
|---|---|
| Materijalni pokrov | Lijevani nehrđajući čelik |
| Materijalne brtve | FPM |
| Materijal za kućište | visokolegirani nehrđajući čelik |
| Materijal klip | Kovana aluminijska legura |
| Materijal klipnjače | visokolegirani nehrđajući čelik |
| Materijal cijevi cilindra | visokolegirani nehrđajući čelik |
| Materijal matica | visokolegirani nehrđajući čelik |
| Materijal ležaj | Kompozit od metala i polimera |
| Materijal ovratna matica | visokolegirani nehrđajući čelik |
| Materijal spona | visokolegirani nehrđajući čelik |